



Ε
Μ
Π

Κοντοί Πρόβολοι

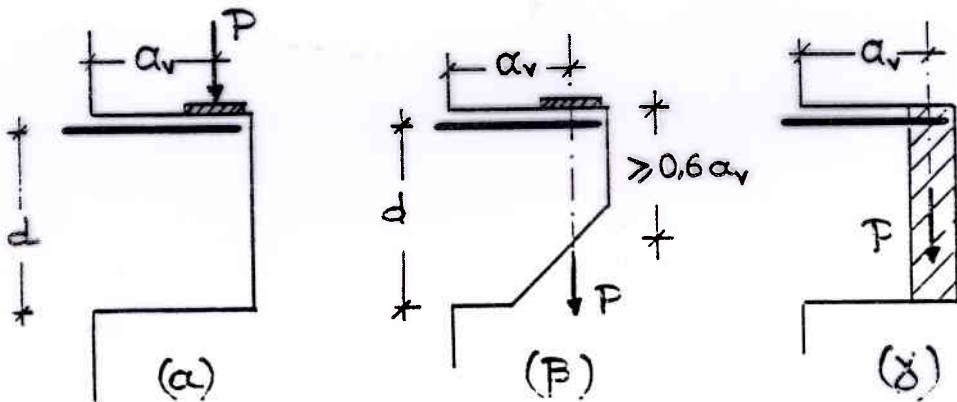
Π. Γιαννόπουλος

Εργαστήριο
Ωπλισμένου
Σκυροδέματος

ΚΟΝΤΟΙ ΠΡΟΒΟΛΟΙ

Γενικά

Ο όρος "κοντός πρόβολος" χρησιμοποιείται για την ειδική περίπτωση πρόβολου πακτωμένου σε υποστύλωμα, στον οποίο η απόσταση " a_v " του φορτίου P από την πάκτωση είναι μικρότερη του ελαστικού ύψους d στη θέση της πάκτωσης.



Είναι: $a_v < d < 2a_v \rightarrow \boxed{0.5 < \frac{a_v}{d} < 1.0}$

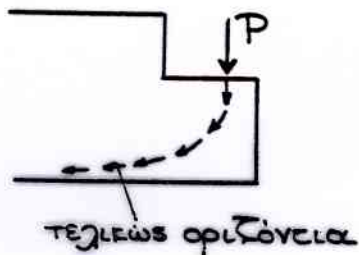
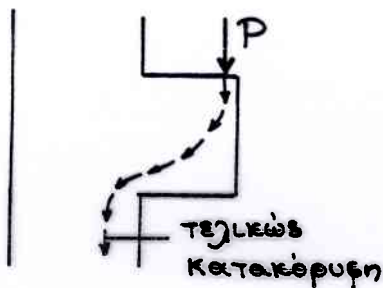
- Οι κοντοί πρόβολοι διαφέρουν μεταξύ τους :
 - είτε στη μορφή τους : ορθογωνική ή τραπέζοειδής
 - είτε στον τρόπο επιβολής του φορτίου P :
 - (α) από πάνω
 - (β) από κάτω
 - (γ) εφμέως (π.χ. μέσω γερανόδοκού που στηρίζεται σε όλο το ύψος του άκρου του πρόβολου).

• Ο κοντός πρόβολος μοιάζει με υποδοχή δοκού GERBER, ως προς το σχήμα και τη φόρτιση.

Χρειάζεται όμως ΠΡΟΣΟΧΗ διότι η διεύθυνση της μέσης τροχιάς των θμητικών τάσεων διαφέρει στις δύο περιπτώσεις :

Κοντός πρόβολος

Υποδοχή δοκού GERBER



"Μέσες" τροχιάς
θμητικών τάσεων

Παλαιότερες αντιλήψεις

Η γύση ήταν ανακριβής (διότι βασιζόταν στην κόμψη ραβδόμορφων φορέων).

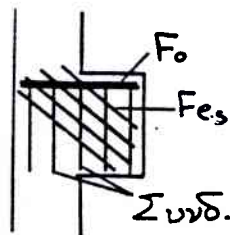
(i) Διαστάσεις : $h = K_h \sqrt{\frac{P \cdot a}{b}} =$

(ii) Οηγιμός : ανεξάρτητα από εφαρμογή φορτίου (άνω, κάτω, έμφρεσα).

• Άνω εφευκόμενος στην πάκωση : $F_o = \frac{P \cdot a}{h} \cdot K_e$

• Λοξός για διάτμηση : $F_{es} = \frac{P}{\sqrt{2} \cdot \sigma_e}$

• Κατακόρυφοι συνδέτες



Πειραματική διάταξη θραύσεως κοντού προβόλου

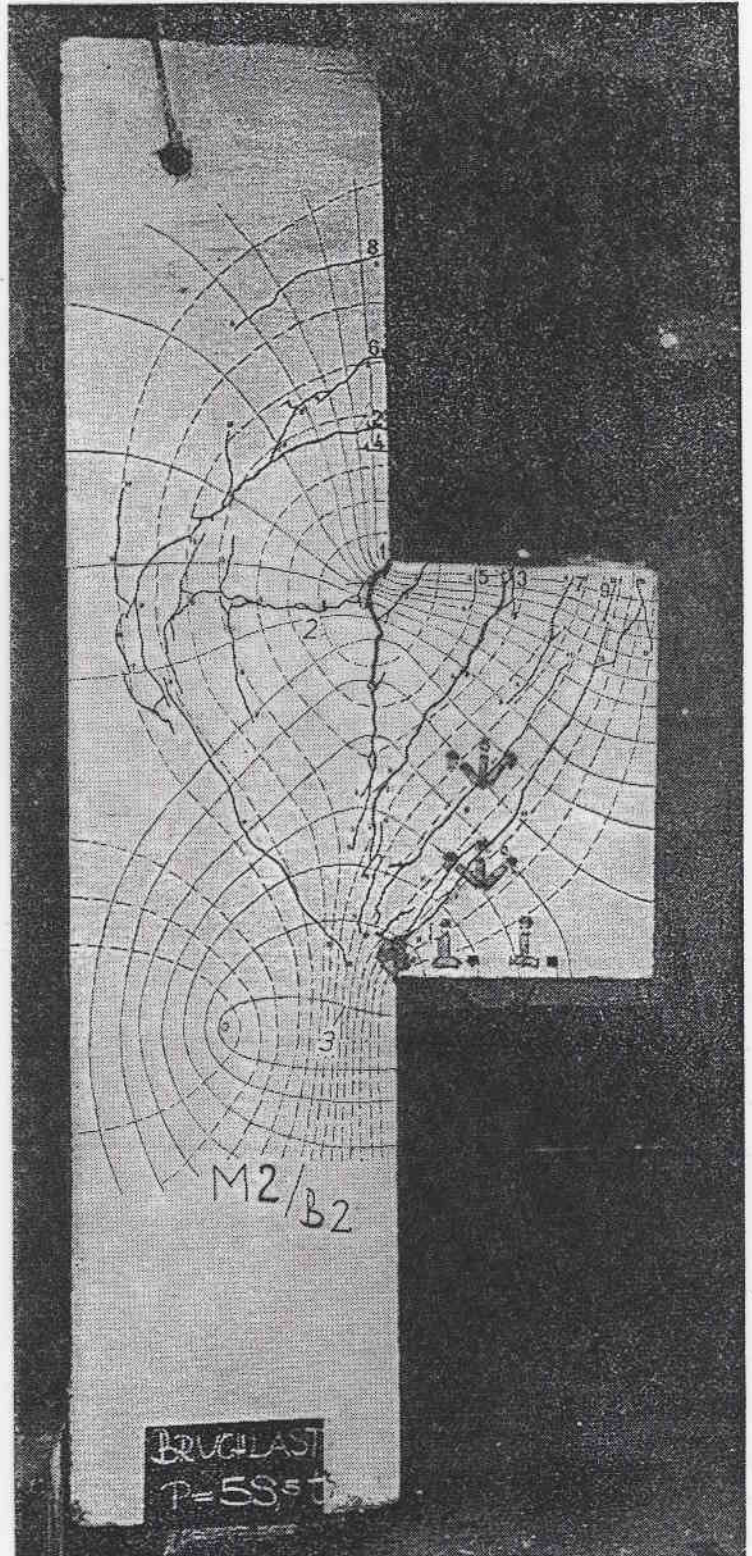
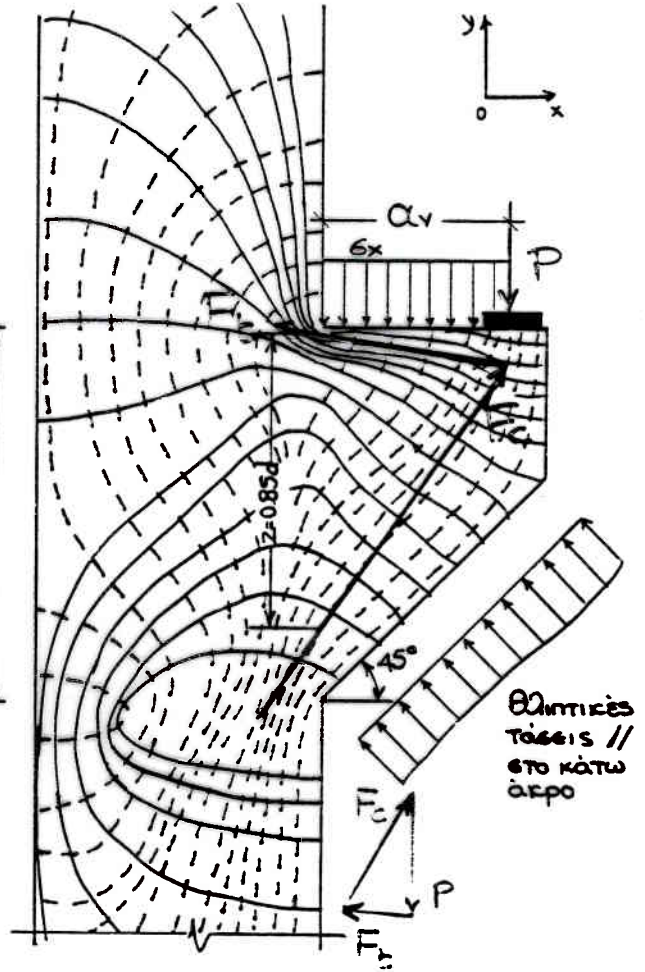
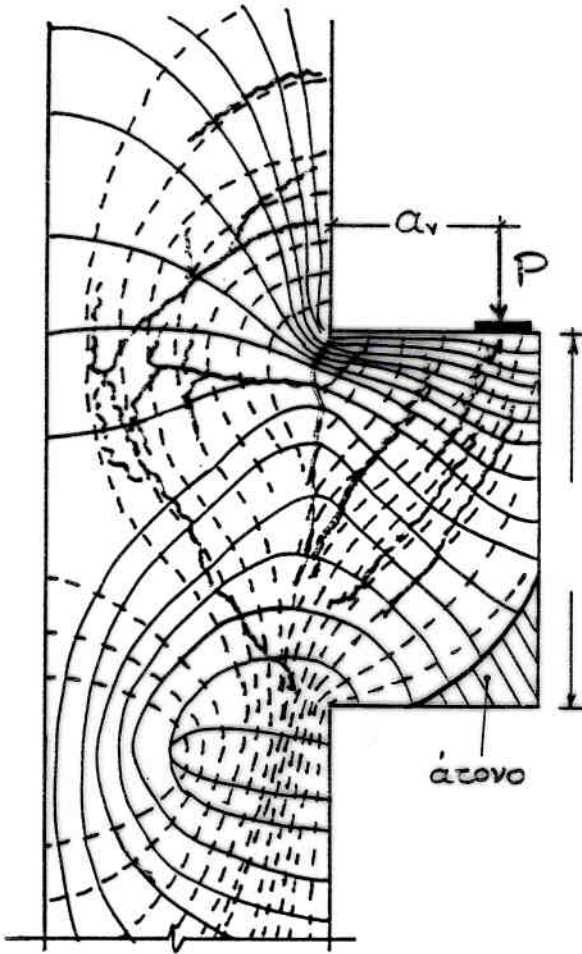


Abb. 4.7/5. Stahlbeton-Versuchskörper
Konsole 50/80 cm, Stütze 2,80 m hoch)
mit aufgezeichneten Trajektorien nach
Abb. 4.7/4a und Reißbild beim Bruch
durch Fließen der Zugbewehrung. Da-
durch Öffnen des Risses in der oberen
Ecke; Drehen des Konsolkörpers und
Streichen des Betons in der unteren
Ecke.

Τροχιές τάσεων και διευσήματα προσομοιώσεώς-τους.

- Τροχιές κυρίων τάσεων σε βροχιά πρόβρα (ση/μα: αγόρευτο):



Τυπική ρηγμάτωση κοντού πρόβρα (ρωχιές // προς τις θλιπτικές ρωχιές)

Οι κύριες εφελκυστικές και οι κύριες θλιπτικές τάσεις υποκαθίστανται αν' τις δυνάμεις F_t, F_c . (για $0,5 < \frac{a}{d} < 1,0$)

Συμβολισμός: - - - - -

θλιπτικές κύριες τάσεις

—————

εφελκυστικές - - - - -

(i) Οι εφεγκυστελές τάσεις σ_x στο άνω τμήμα του προβόλου είναι σχεδόν σταθερές και σχεδόν οριζόντιες.

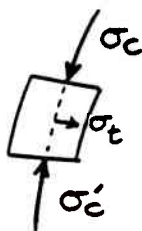
Αρα η συνισταμένη εφεγκυστελική δύναμη F_x που αναπτύσσεται έχει σταθερό μέγεθος και διεύθυνση και μπορεί να παρασταθεί από μια εφεγκυόμενη ράβδο δικτυώματος - εγκυστήρας -.

(ii) Οι θλιπτικές τάσεις κατά μήκος της γραμμής θλιβόμενης ζώνης, που ξεκινάει απ' το σημείο εφαρμογής του φορτίου P , είναι σταθερής πυκνότητας και πρακτικώς ευθύγραμμες.

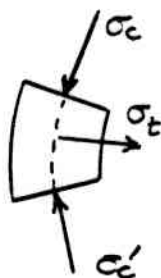
Αρα η συνισταμένη θλιπτική δύναμη F_c μπορεί να παρασταθεί από μια θλιβόμενη χωρίδα εκτροδύματος - θλιπτήρας -.

Παρατήρηση:

Επειδή οι τροχιές των θλιπτικών τάσεων είναι περίπου ευθύγραμμες, οι εκκάρσιες προς αυτές εφεγκυστελικές τάσεις που αναπτύσσονται έχουν πολύ μικρή τιμή. Αρα δεν υπάρχει κίνδυνος διατμήσεως - αντίθετα με τις ποταμές ανελιγήσεις.



$\sigma_c \text{ } \sigma_{c'} \approx \text{ευθεία}$
 $\rightarrow \sigma_t : \text{μικρή}$

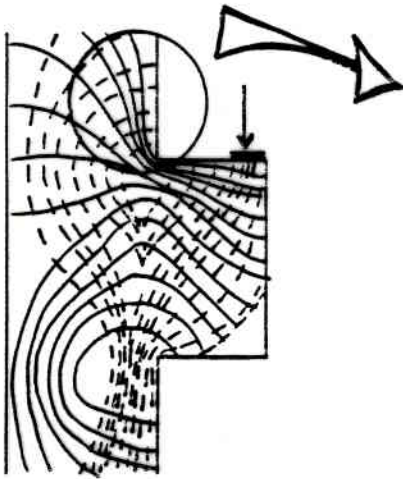


" σ_t ": συνιστώσα της εκτροπής των $\sigma_c, \sigma_{c'}$.

μεγίστη καμπύλωση της τροχιάς θλιπτ. τάσεων
 \rightarrow μέγιστη εφεγκ. τάση σ_t .

- Οι εφεγκυστικές τάξεις που αναπτύσσονται στη θέση πακώσεως του αόριστου υψ/τος εξουδετερώνονται κατά κανόνα αν' ειν θλιπτικές τάξεις του υψ/τος μόλις αναλάβει φορτίο από τους παραπάνω ορόφους.

ΠΡΟΣΟΧΗ!

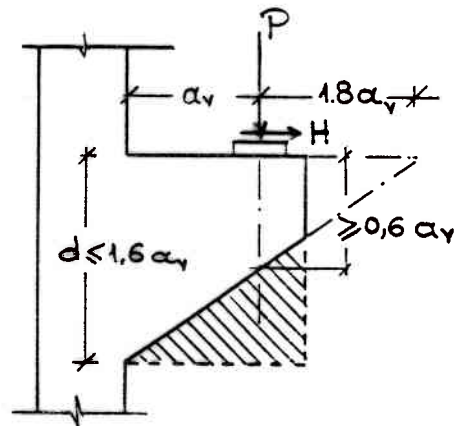


Συγκέντρωση εφεγκυστικών τάξεων στο υποσείρωμα λόγω φορτίσεως του προβόλου.

- ⇒ Πρόσθετος σημειμός $\Delta A'_s$ ειν εσωτερική παρεία του υψ/τος:
- $$\Delta A'_s = 0.70 A_s$$
- όπου: A_s = εφεγκ. σηη. προβόλου (για μικρό $N_{υη}$)

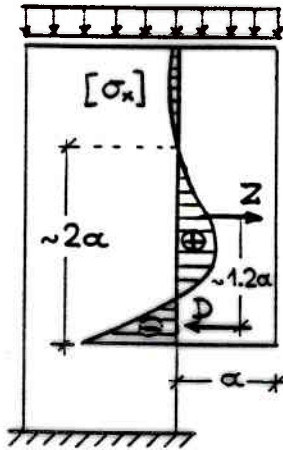
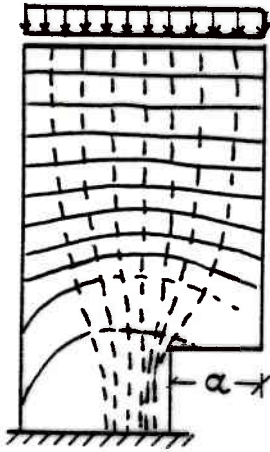
- Μορφή κοντού προβόλου προσαρμοσμένη στη ροή των δυνάμεων.

Στην πράξη, για απρόσβλεψη της κατασκευής, προτιμούνται κοντοί πρόβολοι ορθογωνικής διατομής.

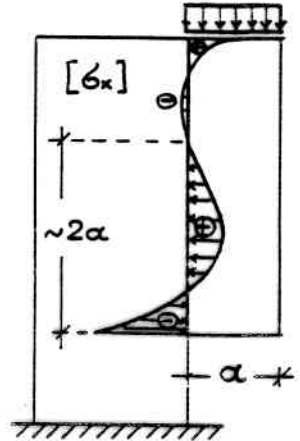


• Για $d > 2a$

- οι ερωγές των κυρίων τάσεων καθ' ύψος του προβόλου είναι της μορφής:



- i -



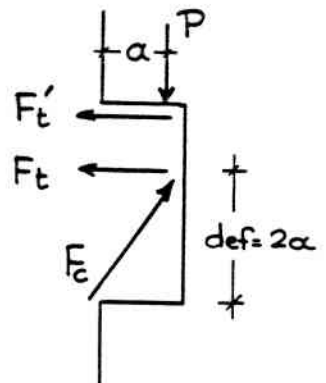
- ii -

$[\sigma_x]$: Διάγραμμα εφερευσετικών τάσεων καθ' ύψος της διατομής στηρίξεως του προβόλου, για:

- (i) καθοδική φόρτιση
- (ii) φόρτιση μόνον του προβόλου

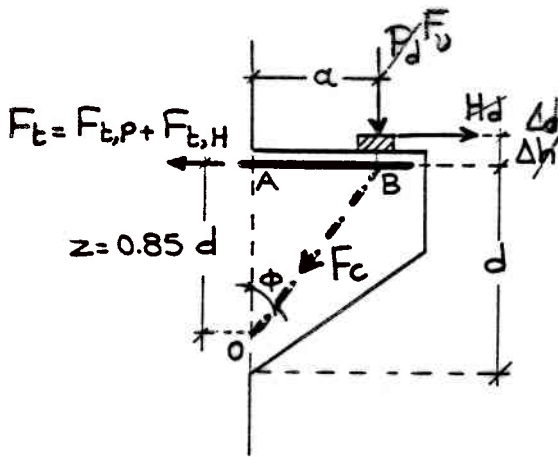
Ανεπιμετώπιση:

- Υπολογίζεται ιδεατός κοντός πρόβολος ύψους $def = 2a$.
- Τοποθετείται πρόθετος οπλισμός στην άνω επιφάνεια του προβόλου (ανάληψη εφερκ. F_t').

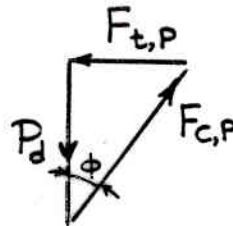


Διαστασιολόγηση κοντών προβόλων

- Η διαστασιολόγηση και η όγκιση των κοντών προβόλων γίνεται με τη βοήθεια ενός απλού δικτυώματος με:
 - εφεξυόμενη ράβδο F_t
 - θλιβόμενη διαχώνιο F_c
- Ο έλεγχος σε διάτμηση παραλείπεται γιατί η τέμνουσα δύναμη αναλαμβάνεται από την γοξή θλιβόμενη διαχώνιο.



για: $\alpha \leq d \leq 2\alpha$



- Μοχλοβραχίονας $z = 0.85 d$

- Εκτίμηση του d : συχνά υπάρχουν περιπτώσεις από μια στρώσει οπλισμού.

► Φόρτιση κοντού προβόλου από πάνω (1)

$$(i) \epsilon \phi \phi = \frac{\alpha}{z} = \frac{F_{t,p}}{P_d} \Rightarrow F_{t,p} = \frac{P_d \cdot \alpha}{z} = \frac{P_d \cdot \alpha}{0,85 d} \rightarrow$$

$$\Rightarrow \boxed{F_{t,p} = \frac{P_d \cdot \alpha}{0,85 \cdot d}}$$

(ii) Σχεδόν πάντα εκτός της P δρα και μια οριζόντια δύναμη H από τις αντιστάσεις των εφεδράνων ή από καταναγκασμό της εδραζόμενης δοκού.

Η δύναμη H εφαρμόζεται με μοχλοβραχίονα Δh ως προς την στάθμη του άνω σημείου.

- Ροπές ως προς $O \rightarrow$

$$H_d(\Delta h + z) = F_{t,H} \cdot z \rightarrow F_{t,H} = H_d \left(\frac{z + \Delta h}{z} \right) \rightarrow$$

$$\rightarrow \boxed{F_{t,H} = H_d \left(1 + \frac{\Delta h}{z} \right)}$$

(iii) Για ταυτόχρονη δράση των P, H είναι:

$$\boxed{F_t = F_{t,P} + F_{t,H} = 1.20 P_d \cdot \frac{a}{h} + H_d \left(1 + \frac{\Delta h}{z} \right)}$$

Απαιτείται εφεγκυόμενος οπλισμός άνω πέλματος:

$$\boxed{A_s = \frac{F_t}{f_{yd}}}$$

(iv) Για τον υπολογισμό της θλιπτικής δύναμης F_c που αναπτύσσεται κατά μήκος του διαχώνιου θλιπτήρα σκυροδέματος, δεχόμαστε ότι:

$$c = 0.22d$$

c : πάχος θλιπτήρα

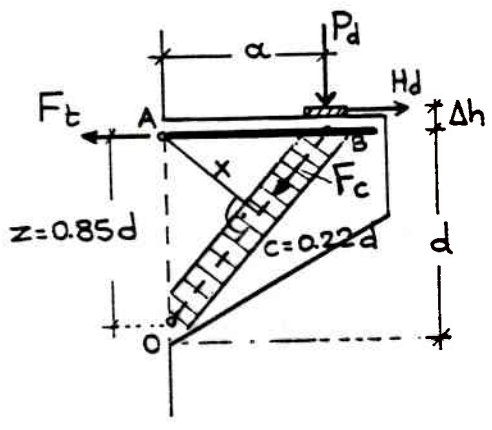
$$\sigma_m = \frac{2}{3} f_{cd}$$

σ_m : μέση τάση σκυροδέματος

Επειδή η αντοχή $\sqrt{\frac{F_{Rd}}{A_c}}$ του θλιπτήρα σκυροδέματος είναι:

$$F_{Rd} \\ V_{Rd1} = \sigma_m \cdot b \cdot c = \frac{2}{3} f_{cd} \cdot b \cdot 0,22d \rightarrow$$

$$\rightarrow \underline{V_{Rd1} = 0,15 \cdot f_{cd} \cdot b \cdot d} \quad b: \text{μικτός πρόβλητος}$$



για $\alpha < d < 2\alpha$

$$x = \frac{0,85d}{\sqrt{(0,85d)^2 + \alpha^2}} \cdot \alpha$$

$$\dot{\gamma} \quad x \approx \frac{1,7\alpha}{1,7 + \alpha/d}$$

Ποιές ως προς A:

$$F_c \cdot x = P_d \cdot \alpha + H_d \cdot \Delta h \rightarrow F_c = \frac{P_d \cdot \alpha + H_d \cdot \Delta h}{x} \rightarrow$$

$$\rightarrow \boxed{F_c = (P_d \cdot \alpha + H_d \cdot \Delta h) \cdot \frac{\sqrt{(0,85d)^2 + \alpha^2}}{0,85 \cdot d \cdot \alpha}}$$

Θα πρέπει να ισχύει:

$$F_c \leq V_{Rd1} = 0,15 \cdot f_{cd} \cdot b \cdot d \quad (I)$$

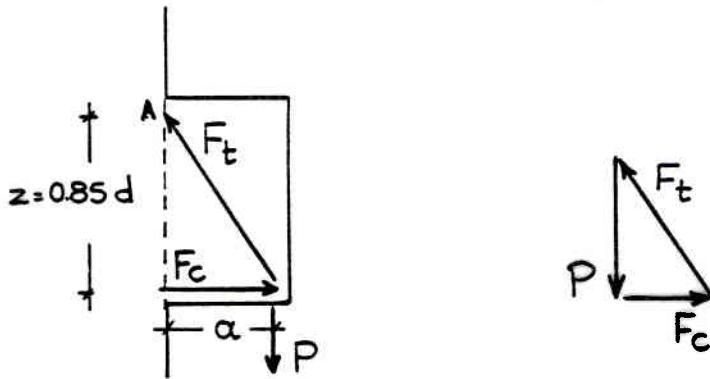
Οι διαστάσεις b, d του πρόβλητος επιλέγονται έτσι ώστε να ικανοποιείται η ανίσωση (I).

• Με την προσεγγιστική τιμή $x \approx \frac{1,7\alpha}{1,7 + \alpha/d}$ προκύπτουν:

$$\text{δανάτ.} = \frac{3,92 (P + F_h \cdot \frac{\Delta h}{\alpha}) (1,7 + \frac{\alpha}{d})}{d \cdot f_{cd}}$$

$$\text{δανάτ.}^2 - 6,67 \frac{P \cdot d}{b \cdot f_{cd}} - \frac{3,92 \cdot P \cdot \alpha}{b \cdot f_{cd}} = 0 \rightarrow \text{δανάτ.} = \dots$$

► Φόρτιση κοτύου προβόλου από κάτω (2)



Ροπές ως προς Α :

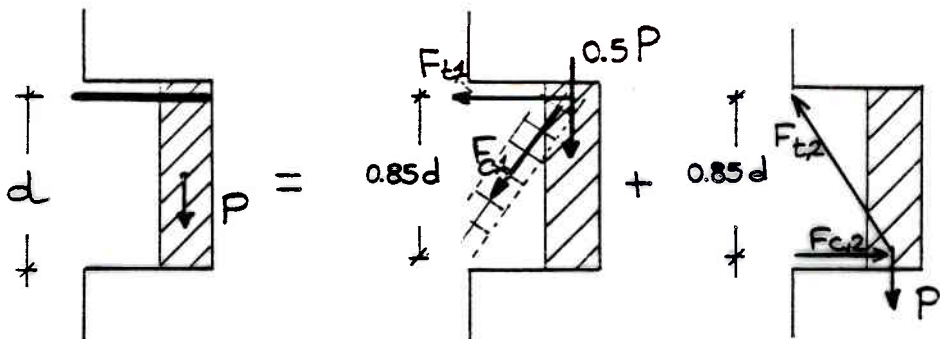
$$F_c \cdot 0,85d = P \cdot \alpha \Rightarrow F_c = \frac{P \cdot \alpha}{0,85 \cdot d} \leq \frac{F_{rd}}{\sqrt{R_{d1}}}$$

$$F_t = \sqrt{P^2 + F_c^2} = \sqrt{P^2 + \left(\frac{P \cdot \alpha}{0,85d}\right)^2} \Rightarrow F_t = P_d \sqrt{1 + \left(\frac{\alpha}{0,85d}\right)^2}$$

Απαιτείται γοϋός οηγιεμός :

$$A_s = \frac{F_t}{f_{yd}}$$

► Εμμεση φόρτιση κοτύου προβόλου



εμμεση φόρτιση = (1) + (2)

Σύμφωνα με το Βοήθημα του Κανονισμού (§ 18.2.2) :
 "... όταν ένας πρόβος φορτίζεται έμμεσα από μια δοκό, το φορτίο που μεταβιβάζεται από τη δοκό πρέπει να θεωρείται ότι εφαρμόζεται στο κάτω μέρος του πρόβου."

Και επίσης "... θα πρέπει να προβλεφεί οριστικός οπλισμός κοντά στην άνω επιφάνεια του πρόβου".

Έτσι, όταν ένας πρόβος φορτίζεται έμμεσα με φορτίο P θεωρούμε ότι:

- Το 50% του P αναρτάται (μέσω κλειστών συνδετήρων) από το πάνω πέλμα και διανέμεται σύμφωνα με τα προηγούμενα - φόρτιση (1) - .
- Το φορτίο P εισάγεται ταυτόχρονα κάτω και παραλαμβάνεται μέσω του γοφού οπλισμού και ενός διαχώνιου θλιπτήρα - φόρτιση (2) - .

Επομένως:

- φόρτιση (1) : $F_{t1} \cdot 0,85d = 0,5 \cdot P \cdot \alpha \rightarrow F_{t1} = \frac{0,50 P \alpha}{0,85 \cdot d}$

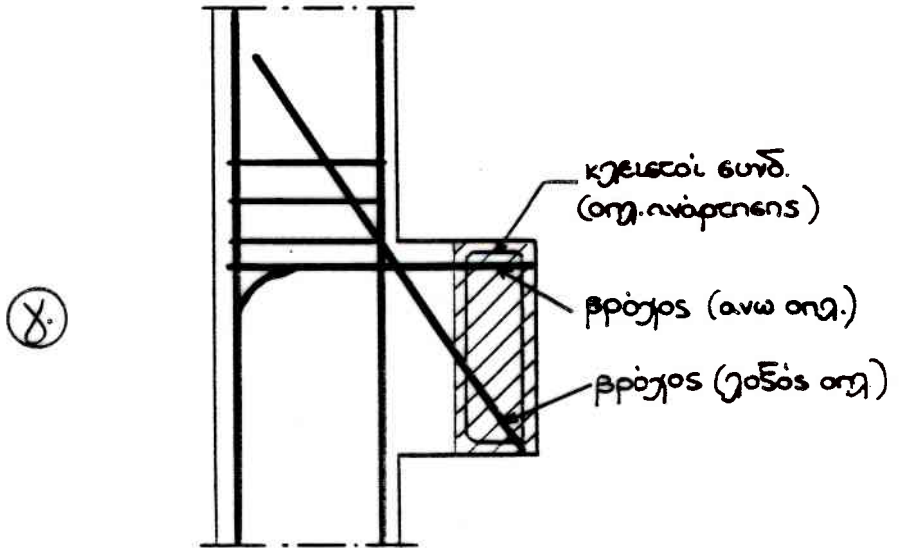
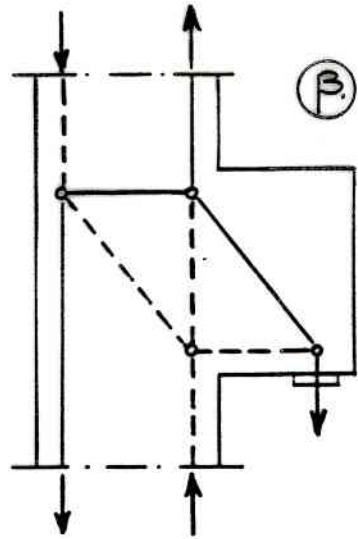
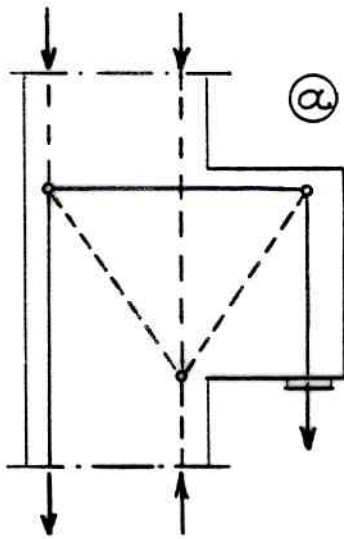
Εφεξ. οπ. άνω πέλματος: $A_{s1} = \frac{F_{t1}}{f_{yd}}$

- φόρτιση (2) : $F_{t2} = \sqrt{F_c^2 + P_d^2} = P_d \sqrt{1 + \left(\frac{\alpha}{0,85 \cdot d}\right)^2}$

Λοξός οπλισμός : $A_{s0} = F_{t2} / f_{yd}$

$F_{c2} \cdot 0,85d = P_d \cdot \alpha \rightarrow F_{c2} = \frac{P_d \alpha}{0,85 d}$

Εμφάνιση φόρτιση κοντού προβόλου :



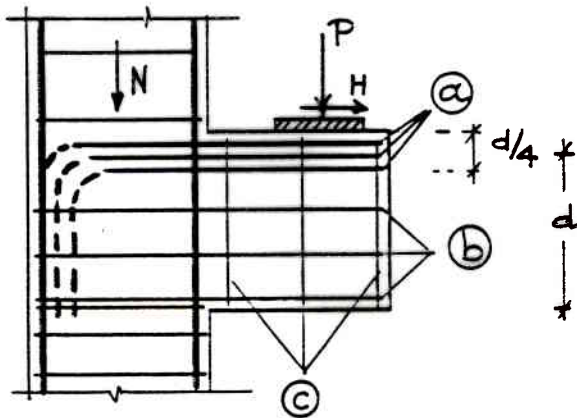
α) Δικτυωτό ανάλογο για αναρτημένο φορτίο

β) -"-" -"-" για φόρτιση από κάτω

γ) Οπλισή για τον συνδυασμό των πιο πάνω φορτίσεων.

Οπξηση κοτζών προβόρων

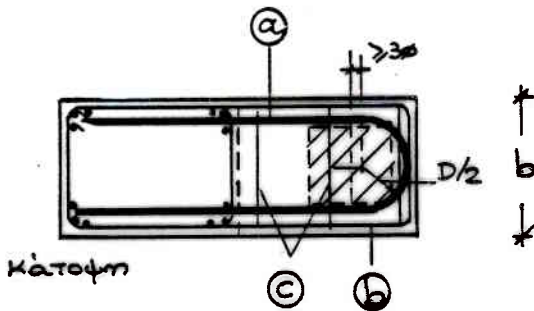
a) Άμεση φόρτιση από πάνω



Ⓐ $A_s \geq 0.003 b \cdot d$
 $1,20 A_s$ (αν H :
 άγνωστο)

Ⓑ $\frac{1}{2} A_s$ (κατ'ελάχιστο)

Ⓒ $0,30 A_s$ (· · · · ·)



Ⓐ Ο σπ. A_s συνίσταται τον κύριο εγκυστήρα:

$A_{s,min} = 0.003 b \cdot d$: κατανεμημένος σε $d/4$

Αν η οριζόντια δύναμη H δεν υπολογίζεται επακριβώς, τότε ο σπ. του εγκυστήρα που υπολογίζεται μόνον βάσει της κατακόρυφης δύναμης P προσωδύναται κατά 20% : $1,20 \cdot A_s$

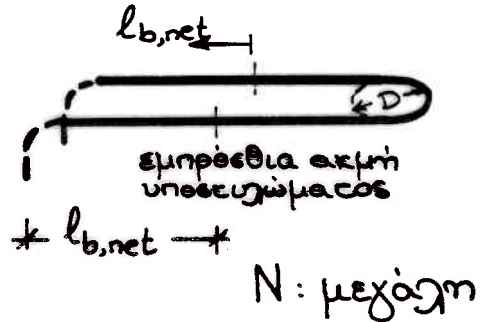
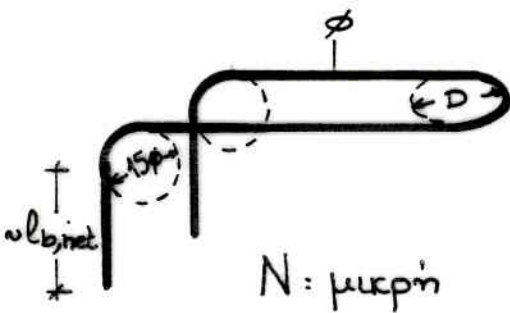
ΕΚΟΣ 2000: $H_c \geq 0.2 F_v$

ΠΡΟΣΟΧΗ στην αγκύρωση του κυρίως οπλισμού A_s !

Η δύναμη F_t του εφεδρικού πέλματος, μεταξύ φορτίου και επηρείσσεως, είναι σχεδόν σταθερή.

Όμως, κοντά στην πλάκα φορτίσεως, δεν έχουν περιθώριο για αρκετό ευθύγραφο μήκος αγκυρώσεως.

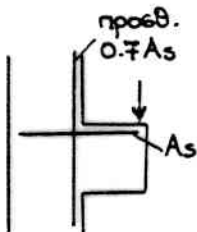
Αντιμετώπιση : οριζόντιοι αναβολείς
(ή, επανιότερα, εώματα αγκυρώσεως).



Η αγκύρωση του οπ. A_s (αναβολέων) εξαρτάται από το μέγεθος του φορτίου N του υψ/κος :

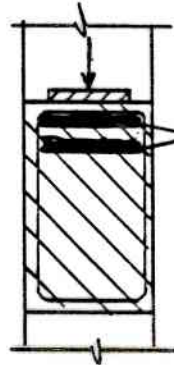
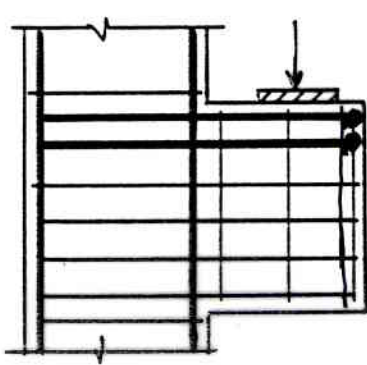
- Για μεγάλη N , οπότε το υψ/μα είναι πάντα σε θλίψη, αρκεί ευθύγραφο μήκος αγκυρώσεως : $l_{b,net}$, ενδεχομένως με ορθογωνικό άγκιστρο στην άκρη

- Για μικρή N (πιθανή ρηγμάτωση του υψ/κος) οι αναβολείς πρέπει να αγκυρώνονται στον πηλω οπλισμό του υψ/κος προς τα κάτω.

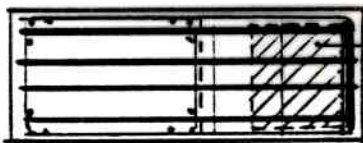


Στην περίπτωση αυτή τίθεται και πρόβλημα οπ. 70% A_s στην εσωτερική παρεία του υψ/κος. (A_s : οπ. προβόρου)

- Σε περίπτωση που δεν εξασφαλιστεί επαρκής αγκύρωση του ση. άνω πέλματος (μικρό μήκος υπ/τας, μεγάλη F_t) η αγκύρωση του σημειομού μπορεί να γίνει με ειδικευμένη εγκάρσια ράβδο ή ηγάσα.



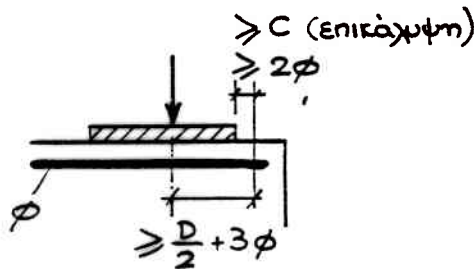
επιθυμητή
ηγάσα
αγκύρωσης
εγκάρσιες ράβδοι



κάτοψη:

φορτισμένη επιφάνεια
ηγάσα αγκύρωσης
Γεράωτης έχουν συχευθεί
οι σημειοί του άνω πέλματος

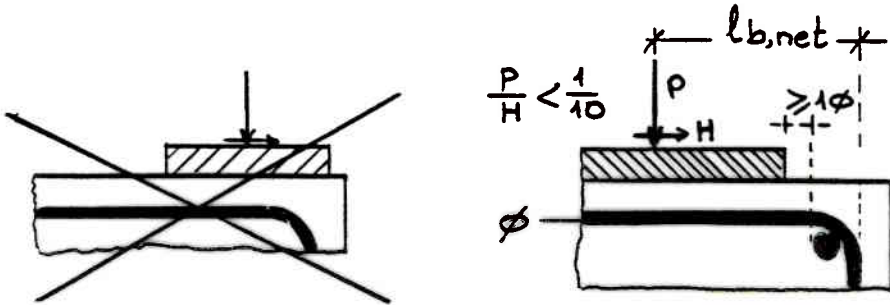
- Ο σημειός του άνω πέλματος θα πρέπει να περιβάλλει τη φορτισμένη επιφάνεια ώστε να μην αποσχιθεί η μπροσινή επιφάνεια του προόρου.



D: Διόμετροσ αναβοχέα

- Ράβδοι πέλματος που κάμπτονται προς τα κάτω στη μετωπική επιφάνεια επικρέπεται να χρησιμοποιούνται μόνον όταν:
 - η ηγία εδράσεως βρίσκεται μετά την αρχή της καμπύλης
 - δεν εμφανίζεται μεγάλη οριζόντια φόρτιση

Διαφορετικά θα αποσπασθεί η μηροεινή αψή του προβόχου.



Πάντως, σε κοντούς προβόχους μικρών διαστάσεων με μεγάλα φορτία ράβδοι τέτοιας μορφής πρέπει να αποφεύγονται.

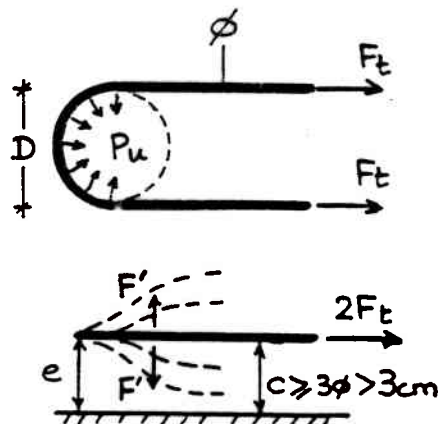
- Κατά τον σχεδιασμό των αναβολών πρέπει να προσεχθούν επίσης:

- ελάχιστη επικάλυψη εκροδέματος: $c \geq 3\phi > 3\text{cm}$.

- ελάχιστη διάμετρος D (§17.6 ΝΚΣ)

$$\frac{D_{\min}}{\phi} = \left(0,5 + \frac{\phi}{e}\right) \cdot \frac{f_{yd}}{f_{cd}}$$

e : εγκάρσια επικάλυψη ή απόσταση μεταξύ κρύνσεων αναβολών.



Λόγω των πιέσεων εκτροπής p_u στο καμπύλο τμήμα του αναβολέα αναπτύσσονται κάθετα προς το επίπεδο του αναβολέα εφελκυστικές δυνάμεις διαρρήξεως:

$$F'_{\text{εφε.}} = \frac{2 F_e}{5} \frac{1}{\sigma_s} , \quad \text{με} \quad \sigma_s = \frac{2 F_e \lambda_{\text{επιτροπ.}}}{\frac{\pi \phi^2}{4}}$$

Οι δυνάμεις αυτές μπορεί να οδηγήσουν στη θραύση της ακραίας ζώνης εκτροπής αν δεν τηρηθούν οι απαιτήσεις για τις ελάχιστες τιμές επικαλύψεως: C_{min} και διαμέτρου καμπύλωσης αναβολέα: D_{min} .

• Εκτός αν' τους αναβολείς πρέπει να τοποθετούνται (min):

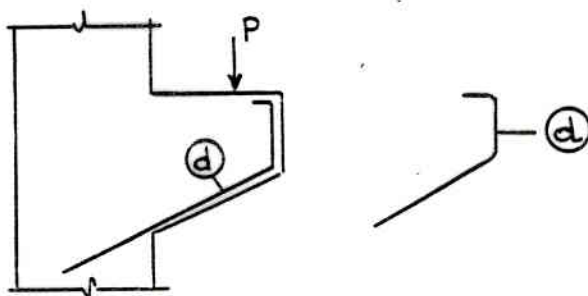
(b) Οριζόντιοι συνδετήρες διατομής: $\frac{1}{2} A_s$, που κατανέμονται ομοιόμορφα σε όλο το υπέρλοιπο ύψος του προβόλου.

Ο σιδηρέσιμος αυτός αυξάνει την αντοχή της θλιβόμενης διαγωνίας, αποτρέποντας την απότομη θραύση-της.

(c) Κατακόρυφοι συνδετήρες διατομής: $\frac{1}{3} A_s$

• Η ποιότητα του χάλυβα των (b) & (c): ίδια με A_s ? Μάλλον

• Σε περίπτωση προβόλου τραπέζιου μορφής πρέπει να τοποθετείται, για κατασκευαστικούς λόγους και στη (d):



β.) Οηγιση βραχέων προβόχων για έμμεση φόρτιση:

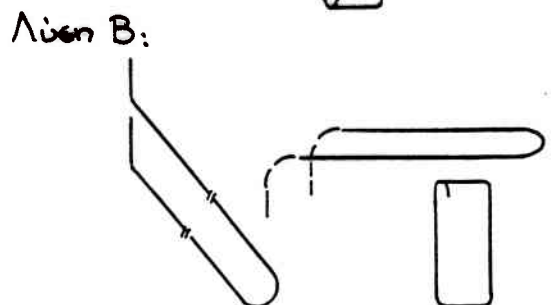
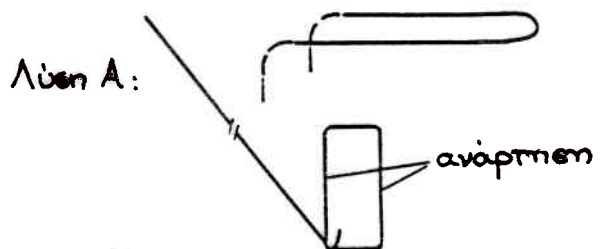
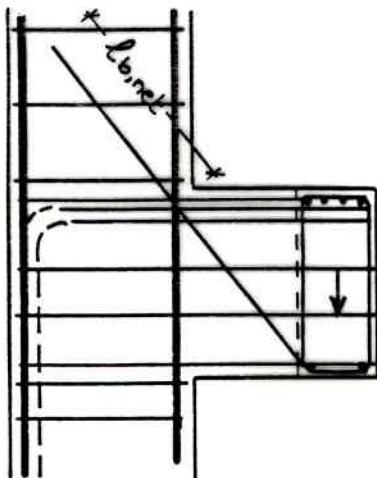
α) Ελάχιστος εφευκόμενος οηγιμός άνω πέλματος:
 $A_{s,min} = 0,003 \cdot b \cdot d$, κατανεμημένος σε ύψος $0,25d$

β) Πρόθετος οριζώντιος οηγιμός διατομής $\frac{1}{2} A_s$.

γ) Κατακόρυφος οηγιμός αναρτήσεως

Παρατήρηση: Το Βοήθημα του Κανονισμού δεν αναφέρει ελάχιστο ποσοστό για τον οηγ. αναρτήσεως. Έκτος κι αν εννοείται: $\frac{1}{3} A_s$, όπως στην περίπτωση άμεσης φόρτισης.
Κατά Leonhardt απαιτείται $A_{s,ax} = 0,60 A_s$.

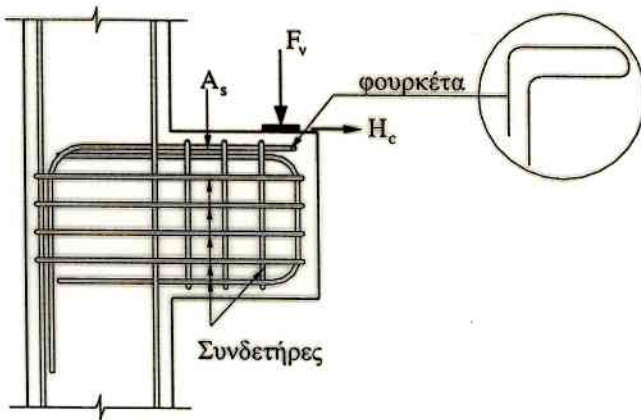
δ) Λοξός οηγιμός για την ανόηξη των γδών εφευκτικών τάσεων.



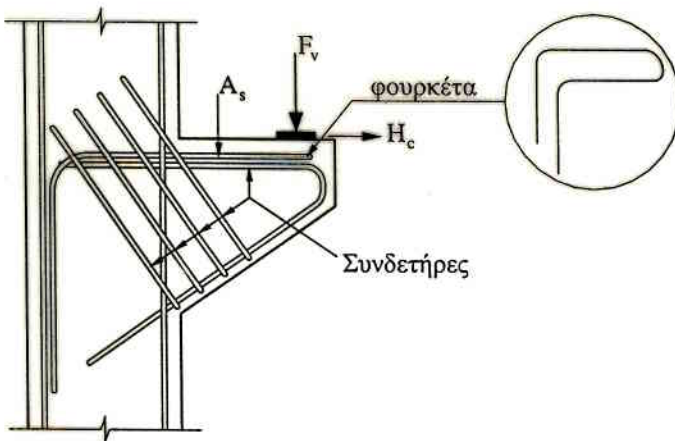
Οηγιμοί κοντού προβόχου

$$A_s \geq 0.4 \cdot A_c f_{cd} / f_{yd}$$

(όπου A_c συμβολίζει την επιφάνεια σκυροδέματος στη διατομή παρειάς του κοντού προβόλου με το υποσύλωμα), τότε πρέπει να διατίθενται κλειστοί συνδετήρες με συνολική διατομή τουλάχιστον $0.4 \cdot A_s$ και κατανομή στο σύνολο του στατικού ύψους d , για την ανάληψη των τάσεων διάρρηξης στο θλιπτήρα σκυροδέματος. Οι συνδετήρες αυτοί μπορούν να τοποθετούνται είτε οριζόντιοι και κάθετοι (σχήμα Α.2) είτε κεκλιμένοι (σχήμα Α.3).



Σχήμα Α.2: Οπλισμός κοντού προβόλου με οριζόντιους συνδετήρες.



Σχήμα Α.3: Οπλισμός κοντού προβόλου με κεκλιμένους συνδετήρες.